

Algorytmy Geometryczne - Sprawozdanie z laboratorium 2

Szymon Tyburczy 420081 Wtorek 15:00-16:30 B

Grupa 7

1. Użyte narzędzia oraz krótki opis.

Korzystając ze znanej książki "Wprowadzenie do algorytmów" Thomasa H. Cormena, użyłem opisanego tam algorytmu, który mówi nam o tym, czy przechodząc do sąsiedniego odcinka, skręcamy w lewo, czy w prawo. Zbiory punktów zostały losowo wygenerowane przy użyciu funkcji `random.uniform()` oraz `random.random()` z biblioteki `numpy`. Wykresy oraz wizualizacje zostały przygotowane przy użyciu narzędzia opracowanego przez koło naukowe BIT.

2. Specyfikacja sprzętu na którym dokonywane było ćwiczenie:

Komputer z systemem windows 11x64
Procesor: 13th Gen Intel(R) Core(TM) i7-10700KF 3.8GHz RAM:
16GB DDR4 3600Mhz
Procesor Graficzny: NVIDIA RTX 3080

3. Cel ćwiczenia oraz teoria stojąca za implementacją

Celem ćwiczenia, jest zaprogramowanie i przetestowanie algorytmu do wyznaczania otoczki wypukłej dla różnych zbiorów punktów na płaszczyźnie. Ćwiczenie służy do zrozumienia i analizy działania algorytmów wyznaczania otoczki wypukłej, ich efektywności na różnych zbiorach danych oraz umożliwienia ich wizualnej interpretacji.

Definicja: Otoczką wypukłą $CH(S)$ dowolnego niepustego zbioru punktów S często nazywamy najmniejszy zbiór wypukły zawierający S .

Podzbiór płaszczyzny Q nazywamy wypukłym, jeśli i tylko jeśli dla dowolnej pary punktów p, q takich, że $p, q \in Q$, odcinek pq jest całkowicie zawarty w Q .

Do określania otoczki wypukłej będziemy używać dwóch algorytmów: algorytmu Grahama oraz algorytmu Jarvisa.

Algorytm Grahama - wyjaśnienie za nim stojącej logiki oraz specyfikacja implementacji

1) Wybór punktu początkowego:

Znajdujemy punkt z najniższą współrzędną y (jeśli kilka punktów ma tę samą współrzędną y , wybieramy ten, który ma najniższą współrzędną x). Ten punkt nazywany jest punktem początkowym otoczki wypukłej. W moim kodzie wykonuje to funkcja 'find_min_y()', która przyjmuje zbiór punktów i zwraca szukany punkt.

2) Sortowanie kątowe:

Sortujemy pozostałe punkty według kąta, jaki tworzą z osią x i punktem początkowym. Jeśli dwa punkty tworzą ten sam kąt z osią x , wybieramy ten, który jest dalej od punktu początkowego. Proces ten odbywa się w kodzie za pomocą funkcji 'sort_points()'.

3) Budowanie otoczki:

Przechodzimy przez posortowane punkty, używając algorytmu opartego na stosie do budowania otoczki. Dodajemy punkty do stosu, ale jeśli nowy punkt tworzy zakręt w prawo z dwoma ostatnimi punktami na stosie, w takim przypadku usuwamy ostatni punkt ze stosu. Proces ten powtarzamy, aż przejdziemy przez wszystkie punkty. Dzieje się to w moim kodzie w funkcji 'graham_algorithm()'.

4) Złożoność tego algorytmu to $O(n \log n)$, gdzie ' n ' oznacza liczbę punktów w zbiorze wejściowym.

Złożoność algorytmu Grahama jest wynikiem działania kilku mniejszych algorytmów:

- Sortowania, które wykonuje się w czasie $O(n \log n)$
- Wyszukiwania punktu o najmniejszej współrzędnej " y " wykonującym się w czasie $O(n)$
- Budowania otoczki wypukłej $O(n)$

Algorytm Jarvisa - wyjaśnienie za nim stojącej logiki oraz specyfikacja implementacji

1) Wybór punktu początkowego:

Wybieramy punkt początkowy, który ma najniższą współrzędną y (jeśli kilka punktów ma tę samą współrzędną y, wybieramy ten z najmniejszą współrzędną x). Ten punkt staje się pierwszym punktem otoczki wypukłej (CH). W moim kodzie, zarówno w algorytmie Jarvisa, jak i w algorytmie Grahama, funkcja 'find_min_y()' przyjmuje zbiór punktów i zwraca odpowiedni szukany punkt.

2) Inicjalizacja otoczki:

Algorytm zaczyna od dodania punktu początkowego, znalezione wcześniej za pomocą funkcji 'find_min_y()', do listy punktów otoczki. Punkt ten jest także używany jako punkt odniesienia do porównania z innymi punktami w celu znalezienia następnego punktu otoczki.

3) Wybór kolejnych punktów:

Algorytm przechodzi iteracyjnie przez pozostałe punkty, wybierając kolejny punkt otoczki, który tworzy obrót w lewo w stosunku do aktualnego punktu. W tym celu funkcja orientation() sprawdza orientację trzech punktów: aktualnego punktu p, sprawdzanego punktu i oraz kandydata na kolejny punkt q. Jeśli orientacja wskazuje na obrót w prawo (wartość 2) lub gdy punkty są współliniowe, ale i jest dalej od p niż q, aktualizowany jest indeks q. Funkcja distance() oblicza odległość w celu porównania punktów współliniowych.

4) Budowanie otoczki:

Punkt p jest aktualizowany do wartości q po każdej iteracji, a nowy punkt jest dodawany do listy hull. Proces jest kontynuowany, aż algorytm wróci do punktu początkowego, zamykając otoczkę.

5) Złożoność:

Złożoność czasowa algorytmu Jarvisa wynosi $O(nh)$, gdzie 'n' to liczba punktów w zbiorze wejściowym, a 'h' to liczba punktów na otoczce wypukłej."

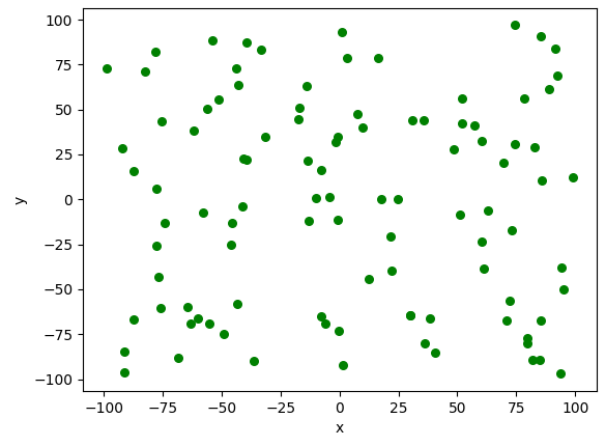
Złożoność algorytmu Jarvisa jest wynikiem działania kilku mniejszych algorytmów:

- Wyszukiwanie punktu o najmniejszej współrzędnej y wykonujące się w czasie $O(n)$.
- Algorytm Jarvisa wykonuje operację wyboru punktów na otoczce wypukłej h razy, a w każdym kroku musi sprawdzić wszystkie n punktów, co daje złożoność $O(n)$ dla każdego kroku.
- Zatem całkowita złożoność algorytmu Jarvisa to, jak już wspomniano, $O(nh)$.
- Warto zauważyć, że w najgorszym przypadku złożoność tego algorytmu może wynieść $O(n^2)$, dlatego w niektórych przypadkach algorytm Grahama może okazać się przytłaczająco szybszy.

4. Plan wykonania ćwiczeń

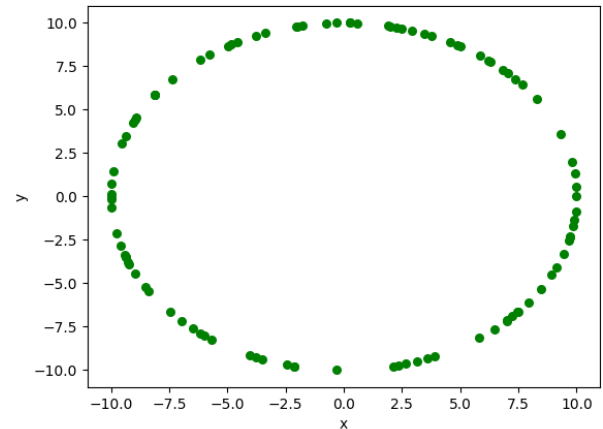
Na początku należało przygotować następujące zbiory:

a) Zbiór A zawierający 100 losowo wygenerowanych punktów o współrzędnych z przedziału $[-100, 100]$.



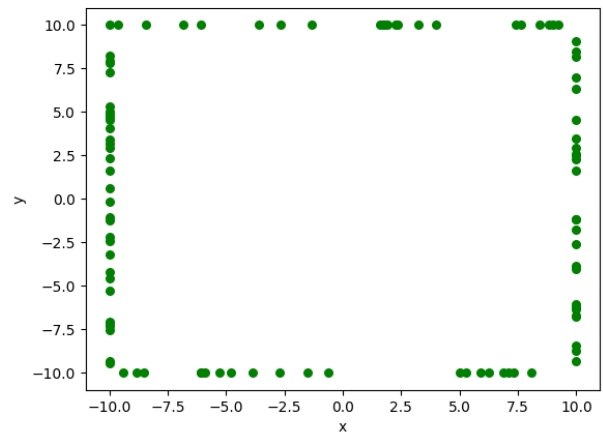
Rys. 4.1 Zbioru A

b) Zbiór B zawierający 100 losowo wygenerowanych punktów leżących na okręgu o środku $(0,0)$ i promieniu $R=10$.



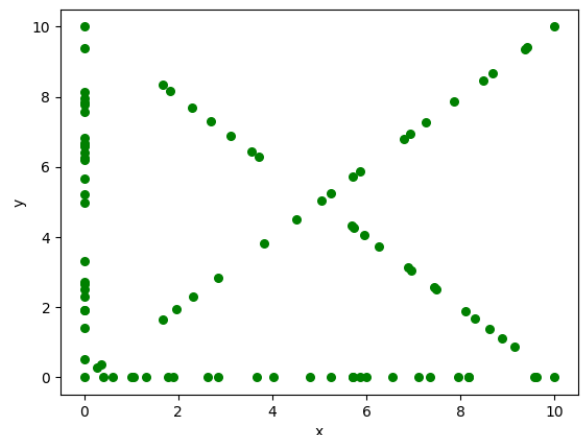
Rys. 4.2 Zbioru B

c) Zbiór C zawierający 100 losowo wygenerowanych punktów leżących na bokach prostokąta o wierzchołkach $(-10, 10)$, $(-10, -10)$, $(10, -10)$, $(10, 10)$.



Rys. 4.3 Zbioru C

d) Zbiór D zawierający wierzchołki kwadratu $(0, 0)$, $(10, 0)$, $(10, 10)$, $(0, 10)$ oraz punkty wygenerowane losowo w sposób następujący: po 25 punktów na dwóch bokach kwadratu leżących na osiach i po 20 punktów na przekątnych kwadratu.



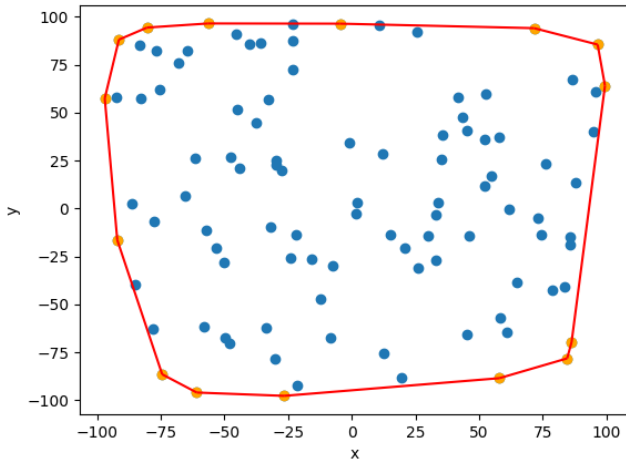
Rys. 4.4 Zbioru D

5. Analiza wyników

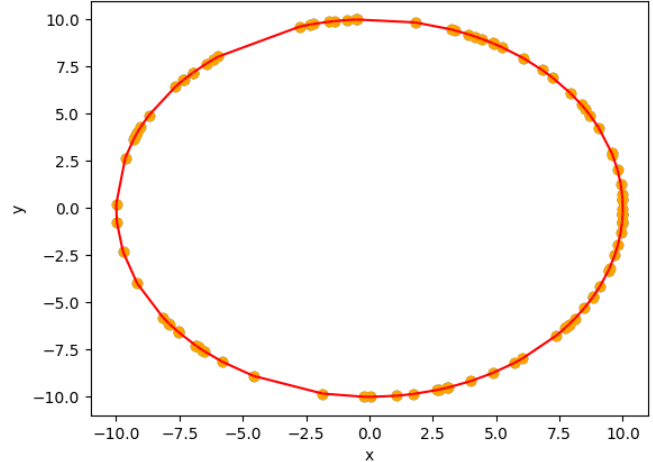
Zbiór punktów	Liczba wierzchołków w otoczce według algorytmu Grahama	Liczba wierzchołków w otoczce według algorytmu Jarvisa
A	15	15
B	100	100
C	8	8
D	4	4

Tabela 5.1

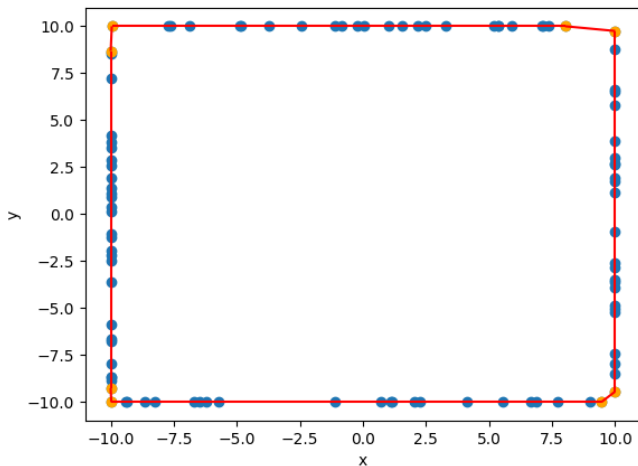
- Tabela 5.1 przedstawia ile punktów opisane wcześniej 2 algorytmy wybierają do stworzenia otoczki wypukłej na zbiorach A, B, C, D.
- Oba algorytmy tworzą dokładnie te same otoczki wypukłe składające się z tych samych punktów.
- Zamieszczone ilustracje ukazują stworzone przez algorytmy otoczki wypukłe. Kolorem niebieskim oznaczone są punkty w otoczce wypukłej, pomarańczowym punkty na otoczce (należące do niej), natomiast linie łączące punkty na otoczce są koloru czerwonego.



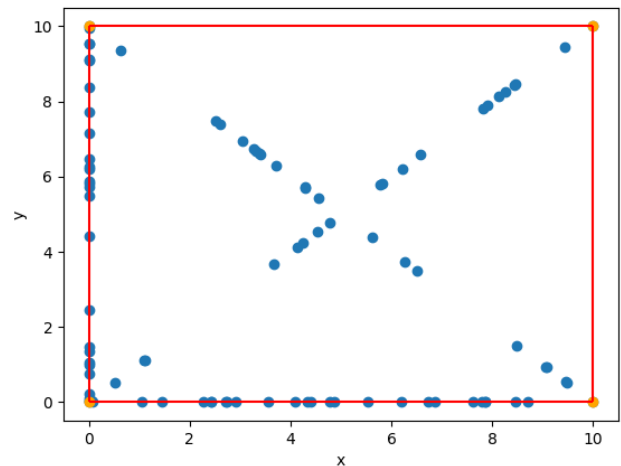
Rys 5.1 Otoczką wypukłą zbioru A dla obu algorytmów



Rys 5.2 Otoczką wypukłą zbioru B dla obu algorytmów



Rys 5.3 Otoczką wypukłą zbioru C dla obu algorytmów



Rys 5.4 Otoczką wypukłą zbioru D dla obu algorytmów

5.1 Analiza - Złożoności obliczeniowe

- W celu zobrazowania różnic w czasach obliczania otoczki wypukłej, przygotowałem zestaw danych o większej liczności punktów, aby dokładniej przeanalizować efektywność algorytmów Grahama i Jarvisa. Przypomnę, że złożoność czasowa algorytmu Grahama wynosi $O(n \log n)$, a algorytmu Jarvisa $O(nh)$, gdzie 'n' to liczba punktów w zbiorze, a 'h' to liczba punktów należących do otoczki wypukłej. W najgorszym przypadku, gdy $h = n$ złożoność algorytmu Jarvisa staje się kwadratowa, czyli $O(n^2)$.
- Dla zbioru B, w którym wszystkie punkty należą do otoczki wypukłej (zatem $h = n$), algorytm Jarvisa osiąga złożoność $O(n^2)$. Oznacza to, że przy większych licznosciach punktów czas działania tego algorytmu gwałtownie wzrasta, co wyraźnie kontrastuje z czasem działania algorytmu Grahama, który dzięki efektywniejszej złożoności $O(n \log n)$ lepiej radzi sobie ze wzrostem liczności danych.
- Przygotowanie zbiorów o różnych licznosciach pozwala na dokładniejsze porównanie efektywności obu algorytmów i lepsze zrozumienie wpływu struktury danych na ich działanie.
- Aby lepiej uchwycić różnice w czasach obliczeń, zwiększyłem licznosc zbiorów punktów. Dotychczas analizowałem dane o licznosci 100 punktów, ale teraz rozszerzam zbiory do większych rozmiarów:
 $n = [50000, 100000, 250000, 500000]$.

○ Zbiór A to n losowych liczb z przedziału $[-2000, 2000]$

○ Zbiór C zawiera n losowo wygenerowanych punktów leżących na bokach prostokąta o wierzchołkach $(-300, 50)$, $(-300, -200)$, $(100, 50)$, $(100, -200)$.

○ Zbiór D zawiera wierzchołki kwadratu $(0, 0)$, $(200, 0)$, $(0, 200)$, $(200, 200)$

oraz punkty wygenerowane losowo w sposób następujący: po x punktów na dwóch bokach kwadratu leżących na osiach i po y punktów na przekątnych kwadratu, gdzie $x = 0.3 * n - 1$ oraz $y = 0.2 * n - 1$.

- Zgodnie z wcześniejszą analizą sensownie spodziewać się, że największe różnice w czasach obliczeń wystąpią w przypadku zbioru B, który jest okręgiem.

Dla zbioru B rozszerzam licznosc punktów do $n = [1000, 5000, 10000, 25000]$ oraz zmieniam promień na $R = 700$.

Środek okręgu nadal pozostaje w punkcie środka układu współrzędnych tzn. $(0, 0)$

Tabele czasów dla wcześniej rozważanych zbiorów:

Zbiór punktów	Liczność n			
	50000	100000	250000	500000
Nowe A	0.7630s	1.6463s	4.3602s	9.6926s
Nowe C	1.1879s	2.3158s	6.4901s	13.8425s
Nowe D	1.1949s	2.5682s	7.0726s	15.0897s

Tabela 5.1 Czasy wykonania algorytmu Grahama dla poszczególnych moców zbiorów dla nowych zbiorów A, C oraz D.

Zbiór punktów	Liczność n			
	50000	100000	250000	500000
Nowe A	0.4127s	0.9249s	3.1156s	5.0825s
Nowe C	0.0999s	0.2821s	0.6121s	1.2298s
Nowe D	0.0787s	0.1618s	0.5679s	1.1117s

Tabela 5.2 Czasy wykonania algorytmu Jarvisa dla poszczególnych moców zbiorów dla nowych zbiorów A, C oraz D.

Zbiór punktów	Liczność n			
	1000	5000	10000	25000
Nowe B	0.0090s	0.0551s	0.1147s	0.3203s

Tabela 5.3 Czasy wykonania algorytmu Grahama dla poszczególnych moców zbiorów dla zbioru nowego B.

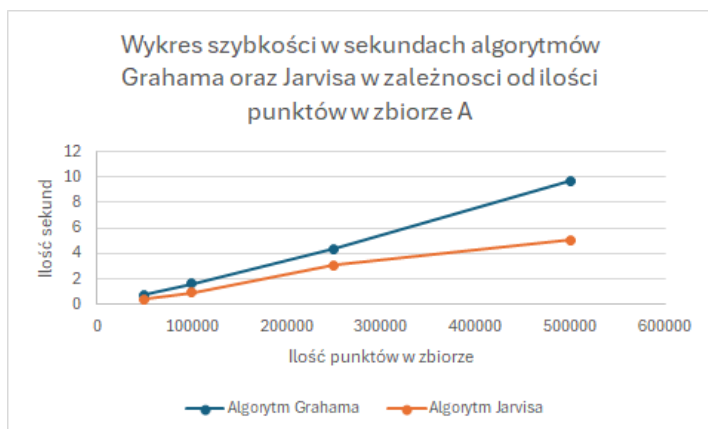
Zbiór punktów	Liczność n			
	1000	5000	10000	25000
Nowe B	0.2654s	6.7759s	27.3280s	174.3573s

Tabela 5.4 Czasy wykonania algorytmu Jarvisa dla poszczególnych moców zbiorów dla zbioru nowego B.

Wnioski dla tabel 5.1 - 5.4

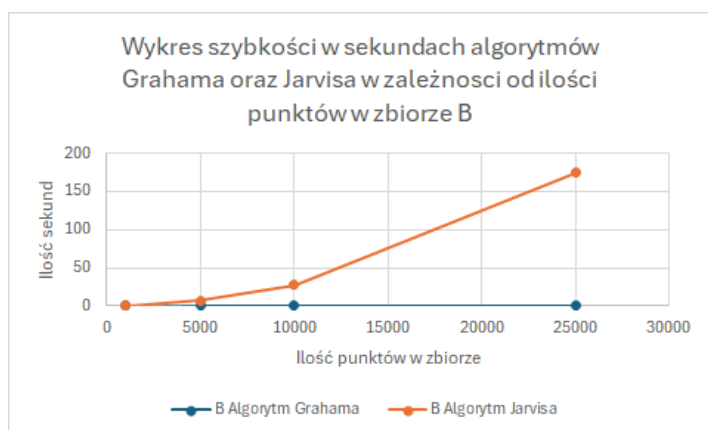
- Dla zbioru A różnice w szybkości działania obu algorytmów są niewielkie. Zbiór A jest najbardziej "neutralnym", gdzie liczba punktów na otoczce jest umiarkowana, co powoduje podobne czasy wykonania obu algorytmów.
- Algorytm Jarvisa działa bardzo nieefektywnie w przypadku zbioru B (okrąg), gdzie każdy punkt należy do otoczki. Złożoność $O(n^2)$ sprawia, że czas działania szybko rośnie z liczbą punktów, co prowadzi do dużych różnic w porównaniu z algorytmem Grahama. Różnice w czasie dla coraz to większych zbiorów są kolosalne - nic dziwnego skoro algorytm się "ukwadratawia".
- Dla zbiorów C i D różnica czasowa wynika z małej liczby punktów na otoczce. Dla zbioru D, gdzie h jest małe, algorytm Jarvisa może działać w czasie $O(n)$, co daje przewagę w takich przypadkach. Zbiór D pokazuje, jak algorytm Jarvisa może stać się bardziej efektywny, gdy liczba punktów na otoczce jest bardzo mała.

6. Wykresy szybkości algorytmów w zależności od wielkości zbiorów.



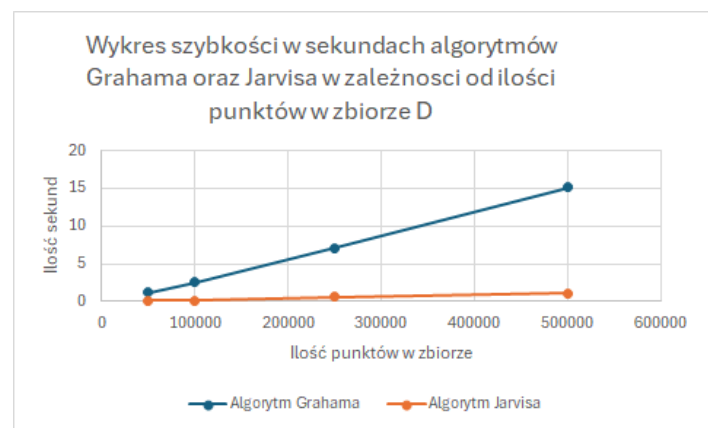
Wykres 6.1

Wykres porównuje czas obliczania otoczki wypukłej dla Algorytmu Grahama oraz Jarvisa dla zbioru A w zależności od jego liczności



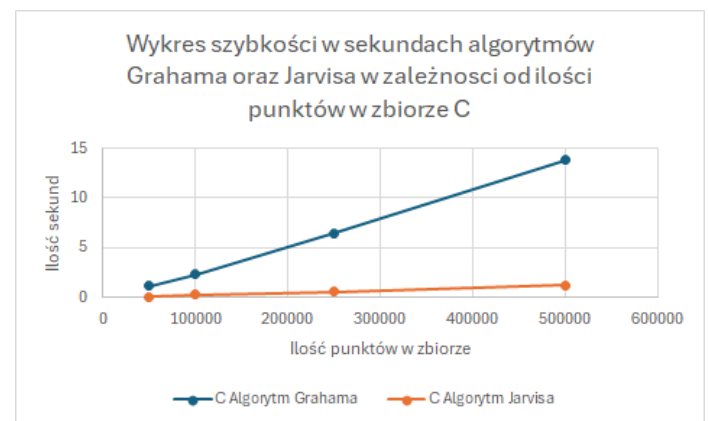
Wykres 6.2

Wykres porównuje czas obliczania otoczki wypukłej dla Algorytmu Grahama oraz Jarvisa dla zbioru B w zależności od jego liczności



Wykres 6.3

Wykres porównuje czas obliczania otoczki wypukłej dla Algorytmu Grahama oraz Jarvisa dla zbioru C w zależności od jego liczności



Wykres 6.4

Wykres porównuje czas obliczania otoczki wypukłej dla Algorytmu Grahama oraz Jarvisa dla zbioru D w zależności od jego liczności

7. Ostateczne wnioski

- Algorytmy Grahama oraz Jarvisa dobrze ilustrują znaczenie złożoności obliczeniowej w informatyce oraz przewagę jednego algorytmu nad drugim w zależności od zbioru, na którym się działa.
- Dobór zbiorów był celowy i przemyślany. Zbiór A został wybrany w taki sposób, że liczba punktów należących do otoczki była nieznacznie oddalona od $O(\log n)$. To spowodowało, że czasy dla obu algorytmów były porównywalne. Zbiór A był najbardziej zbalansowanym zbiorem.
- Zbiór B został specjalnie dobrany tak, by pokazać wyraźną różnicę na korzyść algorytmu Grahama oraz złożoności $O(n \log n)$ nad $O(n^h)$. W sytuacji, gdy $h = n$, algorytm Jarvisa osiąga złożoność kwadratową $O(n^2)$. Dla zbioru B różnice były ogromne, w szczególności dla większych zbiorów, co pokrywało się z przewidywaniami.
- Może również wystąpić sytuacja, w której $\log_2 n > h$. W takim przypadku mamy warunek $n > 2h$, co teoretycznie powinno sprzyjać algorytmowi Jarvisa. Dla zbioru C widoczne są zatem różnice na korzyść algorytmu Jarvisa.
- Przygotowany zbiór D powinien zawierać dużą liczbę wierzchołków współliniowych, w związku z tym ogólna złożoność algorytmu Jarvisa powinna być liniowa $O(n)$. W takiej sytuacji algorytm Grahama o złożoności $O(n \log n)$ powinien być znacznie wolniejszy, co widać w tabeli 5.4 oraz wykresie 6.4.
- Kluczowym aspektem w realizacji obu algorytmów jest sposób ich implementacji. Optymalizacja kodu, wykorzystanie odpowiednich struktur danych, takich jak stos w przypadku algorytmu Grahama, oraz odpowiednia organizacja algorytmu, mają bezpośredni wpływ na wydajność. Nawet jeśli algorytm teoretycznie posiada określoną złożoność obliczeniową, to różnice w implementacji, takie jak sposób przechowywania danych, mogą znacząco wpłynąć na czas wykonania. Staranność w implementacji jest więc równie istotna, co sam wybór algorytmu, zwłaszcza w przypadkach, gdy dane wejściowe są duże lub wymagają specyficznych optymalizacji.